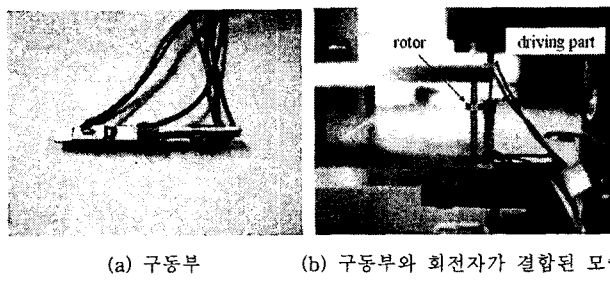


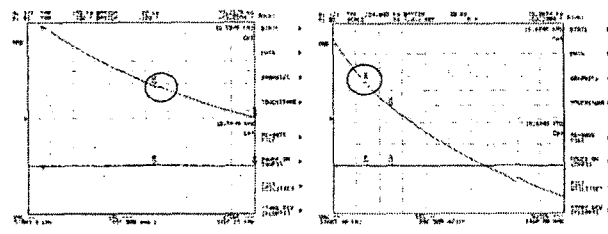
〈그림 4〉 양쪽 끝을 고정한 상태에서의 공진주파수 및 변위 특성

## 2.2 실험 및 고찰

해석 결과를 기반으로 제작된 초음파 모터와 회전자를 그림 5(a)에 나타내었다. 양 끝 부분의 고정을 위하여 탄성체 끝에 2mm의 여유길이를 두었으며, 이 액형 애프시를 이용하여 압전 세라믹을 탄성체에 접착하였다. 그림 5(b)는 구동부인 초음파 모터와 회전자를 결합시킨 측정 세트로서, 회전자 양단은 오일리스 배어링을 이용하여 지그에 고정하였고 마이크로 스테이지지를 이용하여 모터와 회전자 사이의 접촉 위치와 정도를 조정 가능하게 하였다. 우선 임피던스 분석기(Agilent 4294A)를 이용하여 초음파 모터의 임피던스를 측정하였다. 측정결과 Type I과 Type II는 각각 10.5 및 15.6kHz에서 공진 특성을 보였으며 이는 해석 결과와 약 15%정도의 차이를 보였다. 임피던스 측정 시 양 끝단을 개방한 상태였기 때문에 캐패시턴스 차이가 발생하였거나 세라믹 접착 과정에서의 임피던스 차이 때문에 발생한 오차라고 판단된다.

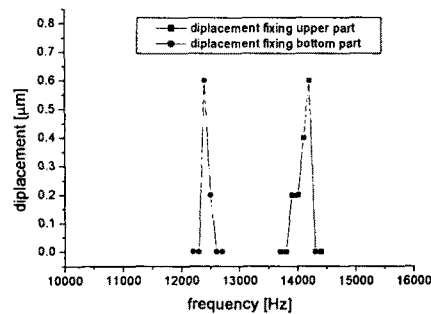
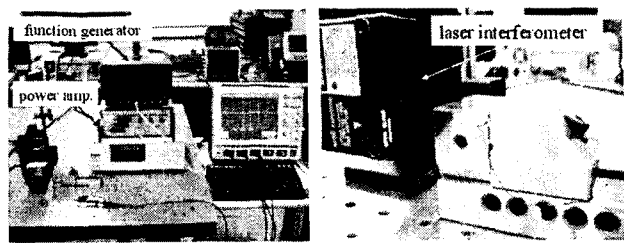


〈그림 5〉 초음파모터 시작품



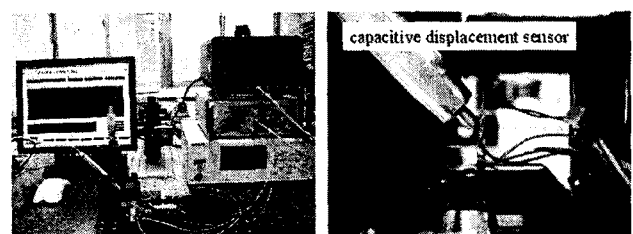
〈그림 6〉 임피던스 분석기를 이용한 초음파모터의 임피던스 측정

초음파 모터의 변위를 측정하기 위하여 그림 7과 같은 실험 장치를 구축하였다. 우선 Type I을 측정대상으로 하였다. 2채널 함수 발생기(NF wave factory 1942)에 전압 증폭기(PI E663)를 연결하여, 주파수를 변화시키면서 90도의 위상차를 갖는 정현과 전압을 두 쌍의 압전 세라믹 전극에 각각 인가하였다. 마찰부의 변위측정은 레이저 변위계(LC-2440)를 이용하였다. 우선 한쪽 끝만을 고정한 상태에서의 변위를 측정하기 위하여 그림에서와 같이 바이스에 초음파 모터의 한쪽 끝을 고정한 후 중앙의 마찰부 부분의 변위를 측정하여 그 결과를 나타내었다. 그림에서 보는 바와 같이 최대 변위는 양 방향 모두  $0.6 \mu\text{m}$ 으로 측정되었으며 주파수 대역에서도 해석값과 다소 차이를 보였다. 편의상 중심 마찰부분을 기준으로 접지라인이 연결되어 있는 부분을 초음파 모터의 하단부, 그 반대를 상단부라고 정의할 때, 상단부의 최대 변위 주파수는 하단부와 비교하여 약 180Hz 정도의 차이를 보였다. 이는 압전 세라믹 접합시의 부정확한 정렬과 털어짐, 그리고 고정시 압전 세라믹과 바이스 끝단 간의 간격 차이에 의한 오차라고 판단된다. 실제로 압전 바이모프의 경우 최대 변위를 얻기 위한 고정 조건은 압전 세라믹과 고정부 끝단간 간격을 최대한 작게, 그러나 일치하지 않을 만큼 부여하는 것으로 알려져 있다[4]. 다시 말해, 조립 및 고정 과정에서 발생하는 오차로 인하여, 최대 변위와 공진 주파수는 해석값과 차이를 보이게 되며, 제작된 초음파 모터의 상단부와 하단부의 비대칭성으로 인해 각 끝단을 고정했을 경우의 특성도 차이를 보인 것으로 여겨진다.



〈그림 7〉 한쪽 끝을 고정한 상태에서의 변위 측정 장면 및 결과

양쪽 끝을 고정한 상태에서의 초음파 모터의 변위를 측정하기 위하여 그림 8과 같이 정전센서를 이용하였다. 이는 앞서 사용된 레이저 변위계의 경우 측정 정밀도가 약  $0.2 \mu\text{m}$ 정도이기 때문에 측정의 신뢰도를 높이기 위함이다. 초음파 모터의 양 끝을 고정 지그에 결합 시킨 후 센서 탐침을 구동부의 마찰재 축면에 접근 시켰다. 13kHz 부근에서 약  $0.2 \mu\text{m}$ 의 기계적 진동이 감지되었다. 이는 시를레이션 결과와 비교할 때 3분의 1수준의 변위로서, 제작과정에서의 조립 오차 및 고정 지그에 의한 감쇄 등의 영향으로 평가된다. 회전자를 구동부의 마찰재에 접촉시켰으나 위치 조정에 따라 미세한 진동만 발생할 뿐 회전운동이 발생하지는 않았다. 마찰부분에 박막의 고무재질을 붙여 마찰력을 증대시켰으나 작은 변위로 인해 원하는 결과를 얻지 못했다.



〈그림 8〉 양쪽 끝을 고정한 상태에서의 변위 측정

## 3. 결 론

본 연구에서는 새로운 타입의 초음파 모터를 제안하고 유한요소법을 통해 임피던스 및 변위 특성을 해석하였다. 시뮬레이션을 기반으로 초음파 모터를 제작하였으나 제작과정의 조립 및 구속조건 등의 오차 등으로 인해 궁극적인 모터의 회전운동은 이끌어내지 못했다. 향후에는 조립오차를 줄일 수 있는 방법 개발과 적층 세라믹의 적용, 변위 확대를 위한 탄성체 구조개선 등의 연구가 추가적으로 요구된다.

### [참 고 문 헌]

- [1] James Friend, Kentaro Nakamura, and Sadayuki Ueha, "A Traveling-Wave, Modified Ring Linear Piezoelectric Microactuator with Enclosed Piezoelectric Elements-The "Scream" Actuator," IEEE Transactions on UFFC, Vol. 52, No. 8, pp. 1343-1353, 2005
- [2] Minoru Kurosawa, Takeshi Morita, and Toshiro Higuchi, "A Cylindrical Ultrasonic Micro Motor Based on PZT Thin Film," in Proc. of 1990 IEEE Ultrasonics Symposium, pp. 549-552, 1990.
- [3] R. Lerch, "Simulation of piezoelectric devices by two- and three dimensional finite elements," IEEE Transactions on UFFC, Vol. 37, pp. 233247, 1990.
- [4] M. J. Cunningham, D. F. L. Jenkins, M. M. Bakush, "Experimental investigation of optimum thickness of a piezoelectric element for cantilever actuator," IEE Proc.-Sci. Meas. Technol., Vol. 144, No. 1, pp. 45-48, 1997